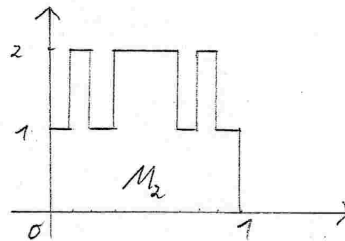


**Aufgabe 1** (4 Punkte)

Die offene, zusammenhängende Menge  $M$  wird schrittweise konstruiert, indem an das offene Quadrat  $M_0 = ]0, 1[ \times ]0, 1[ \subset \mathbb{R}^2$  „Zähne“ der Höhe 1 angefügt werden, jeweils symmetrisch in die verbleibenden Lücken des Quadrats  $]0, 1[ \times ]1, 2[$ . Im ersten Schritt wird ein Zahn der Breite  $p^{-1}$  mit  $p \in \mathbb{N}$ ,  $p > 2$  angefügt, im 2. Schritt 2 Zähne der Breite  $p^{-2}$ , usw. Im  $m$ -ten Schritt werden  $2^{m-1}$  Zähne der Breite  $p^{-m}$  angefügt.



Zeigen Sie, daß  $M = \bigcup_{m=0}^{\infty} M_m$  für  $p = 3$  Jordan-meßbar ist, für  $p > 3$  jedoch nicht.

**Aufgabe 2** (4 Punkte)

Es sei  $f : [0, 1] \times [0, 1] \rightarrow \mathbb{R}$  gegeben durch  $f(0, 0) = \frac{1}{2}$  und  $f(x, y) = \frac{x}{x+y}$  sonst. Man berechne mittels Riemann'scher Summen das Integral

$$\int_{[0,1] \times [0,1]} f(x, y) d(x, y).$$

Hinweis: Benutzen Sie eine äquidistante Zerlegung von  $[0, 1] \times [0, 1]$ .

**Aufgabe 3** (4 Punkte)

Es sei  $0 < r < R$ . Durch Rotation des in der  $xz$ -Ebene liegenden Kreises  $(x - R)^2 + z^2 \leq r^2$  um die  $z$ -Achse entsteht im  $\mathbb{R}^3$  der Torus  $T$ . Man berechne das Trägheitsmoment von  $T$  um die  $z$ -Achse, d.h. man berechne

$$\int_T (x^2 + y^2) d(x, y, z).$$

Hinweis: Führen Sie geeignete Koordinaten (2 Winkel) ein.

b.w.

**Aufgabe 4** (4 Punkte)

Ist  $S \subseteq \mathbb{R}^3$  JORDAN-meßbar, so ist der Schwerpunkt  $z$  von  $S$  gegeben durch

$$z_i = |S|^{-1} \cdot \int_S x_i \, dx, \quad i = 1, 2, 3.$$

Man berechne den Schwerpunkt

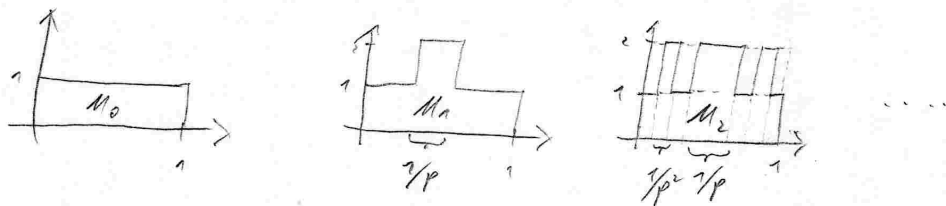
- a) der Halbkugel  $\{(x, y, z) : x^2 + y^2 + z^2 \leq 1, \quad z \geq 0\}$ ,
- b) des Tetraeders  $\{(x, y, z) : x + y + z \leq 1, \quad x, y, z \geq 0\}$ .

**Abgabe:** In der 3. Vorlesungswoche (28.10.-1.11.02) in den Übungen.

# Musterlösung

①

Aufg 1: Sei  $(M_m)$  die Folge der Mengen:



Beh:  $M := \bigcup_{m=0}^{\infty} M_m$  ist für  $p=3$  Jordan-messbar, aber für  $p > 3$  nicht.  $p \in \mathbb{N}, p \geq 3$

Bew: Heuristisch: Es gilt  $M_{m-1} \subset M_m$ ,  $m \in \mathbb{N}$ . Jedes  $M_m$  ist als Vereinigung von Quadraten messbar:

$$\begin{aligned} \mu(M_m) &= 1 + \frac{1}{p} + \frac{2}{p^2} + \dots + \frac{2}{p^{m-1}} = 1 + \frac{1}{p} \left( 1 + \frac{2}{p} + \dots + \left(\frac{2}{p}\right)^{m-1} \right) \\ &= 1 + \frac{1}{p} \frac{1 - (2/p)^m}{1 - 2/p} = 1 + \frac{1 - (2/p)^m}{p-2} \xrightarrow{m \rightarrow \infty} 1 + \frac{1}{p-2} \end{aligned}$$

$M$  läßt sich von innen durch die  $M_m$  "erschöpfen"

$$\Rightarrow \mu_{\text{innen}}(M) = 1 + \frac{1}{p-2}$$

Für das äußere Maß gilt aber:  $\mu_{\text{außen}}(M) = 2$ , da sich vom umgebenen Quadrat  $[0, 1] \times [0, 2]$  kein Teil = Quadrat mit Seitenlänge  $1/p$  löst ohne auch Punkte aus  $M$  +  $1/p$  mit fern zu (die "Lücken" liegen dicht!).

$\mu_{\text{innen}}(M) = \mu_{\text{außen}}(M)$  gilt offenbar nur für  $p=3$ .

Etwas genauer:

(2)

Es gilt  $\mu(M) = \int_{M_0} \chi_M dx$ , falls  $\chi_M$  (charakteristische Funktion von  $M$ )  $\mathbb{R}$ -integrabel ist. Betrachte also

Funktion von  $M$ )  $\mathbb{R}$ -integrabel ist. Betrachte also

$$\int_{M_0} \chi_M dx = \sup_Z \underline{S}_Z(\chi_M) \quad \text{bzw.} \quad \int_{M_0} \chi_M dx = \inf_Z \bar{S}_Z(\chi_M).$$

Ziemlich Oberintegral: Sei  $Z$  eine bel. Zerlegung  $Z$  von  $M_0$  und

$\{Q_i \mid i=1, \dots, N\}$  die Menge der Teilquadrate so ist

$$\sup_{Q_i} \chi_M = 1$$

für jedes  $Q_i \subset M_0$ , da  $Q_i$  Punkte aus  $M$  enthält (die dichte liegen!). also gilt:

$$\bar{S}_Z(\chi_M) = \sum_{i=1}^N \sup_{Q_i} \chi_M \cdot \mu(Q_i) = \sum_{i=1}^N \mu(Q_i) = \mu(M_0) = 2,$$

$$\text{also} \quad \int_{M_0} \chi_M dx = 2.$$

Ziemlich Unterintegral: Betrachte zunächst die Folge  $(Z_m)$  von

Zerlegungen  $Z_m$ , die  $M_m$  "eracht zusammen". Für dessen

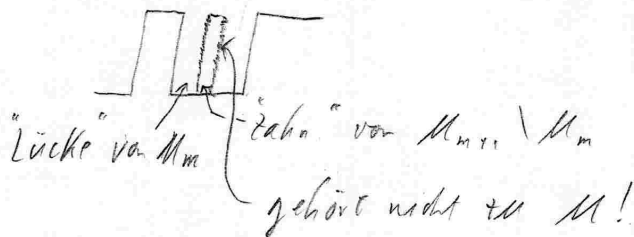
Teilquadrate  $Q_i^m$ ,  $i=1, \dots, N_m$  gilt:

$$Q_i^m \subset M_m \quad \forall \quad Q_i^m \subset M_0 \setminus M_m$$

Für die  $Q_i^m \subset M_0 \setminus M_m$  gilt  $\inf_{Q_i^m} \chi_M = 0$ , da sie Punkte

z. B. enthalten, die nicht zu  $M$  gehören, z. B. die Seite  $M$  bilden

aus  $M_{m_1} \setminus M_m$ .



(3)

$$\text{Damit folgt } \underline{S}_t(X_M) = \sum_{i=1}^{N_m} \inf_{Q_i^m} X_M \cdot \mu(Q_i^m) = \mu(M_m) \\ = 1 + \frac{1 + (1/p)^m}{p-2}$$

$$\text{Man gilt: } \int_{M_0} X_M dx = \sup_{\mathcal{Z}} \underline{S}_t(X_M) \geq \sup_{\mathcal{Z}_m} \underline{S}_t(X_M) \geq 1 + \frac{1}{p-2}$$

Sei jetzt  $\mathcal{Z}$  eine beliebige Zerlegung in Teilquadern  $Q_i$ ,  $i=1, \dots, N$ .

Dann gilt für jeden Teilquader  $Q_i$ :

$$\exists m_i \in \mathbb{N} : Q_i \subset M_{m_i} \quad \forall m \in \mathbb{N} : Q_i \not\subset M_m$$

Im letzten Fall folgt  $Q_i \not\subset M$  (Beweis!) und  $\inf_{Q_i} X_M = 0$ .

Für die ersten  $Q_i$  gilt:  $Q_i \subset M_{m_0}$  mit  $m_0 = \max_{1 \leq i \leq N} m_i$ .

$$\text{Also: } \underline{S}_t(X_M) = \sum_{i=1}^N \inf_{Q_i} X_M \cdot \mu(Q_i) \leq \mu(M_{m_0}) \leq 1 + \frac{1}{p-2}$$

$$\text{Insgesamt folgt: } \int_{M_0} X_M dx = 1 + \frac{1}{p-2}$$

und damit die Beh.

Aufg 2

(4)

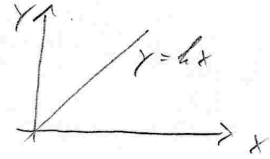
$$\text{Sei } f: \begin{cases} [0,1] \times [0,1] \rightarrow \mathbb{R} \\ (x,y) \rightarrow \begin{cases} \frac{1}{2} & \text{falls } (x,y) = (0,0) \\ \frac{x}{x+y} & \text{sonst} \end{cases} \end{cases}$$

Bzh:  $\int_{[0,1] \times [0,1]} f(x,y) d(x,y) = \frac{1}{2}$

$$f(x, h x) = \frac{1}{1+h} = \text{const.}$$

$$\text{für } 0 \leq h < \infty$$

$$f(0,y) = 0$$



Bew:  $f$  ist auf  $[0,1] \times [0,1] \setminus \{(0,0)\}$  stetig und beschränkt

$\Rightarrow f$  ist R-int. bar

Für R-int. bar Funktionen kann das Integral analog zum 1-dim. Fall durch Riemann'sche Zwi'schensummen bestimmt werden: Sei  $(\tau_n)$  eine Folge von  $\tau$ -Zerlegungen mit  $\lim_{n \rightarrow \infty} |\tau_n| = 0$ , so gilt:  $\int f dx = \lim_{n \rightarrow \infty} \sigma_{\tau_n}(f)$ , wobei  $\tau_n$  "Feinzerlegung"

$$\text{wobei: } \sigma_{\tau_n}(f) := \sum_{i=1}^{N_n} f(x_i^n) \cdot \mu(Q_i^n) \text{ mit } x_i^n \in Q_i^n.$$

Sei im folgenden  $\tau_n$  die äquidistante  $\tau$ -Zerlegung:

$$\tau_n = \left\{ \left( \frac{i}{n}, \frac{j}{n} \right) \mid i=0, \dots, n; j=0, \dots, n \right\}$$

$$\sigma_{\tau_n}(f) = \sum_{i,j=0}^n f\left(\frac{i}{n}, \frac{j}{n}\right) \cdot \frac{1}{n^2} = \frac{1}{n^2} \sum_{i,j=0}^n \frac{i}{i+j}$$

$$\stackrel{\text{Symmetrie in } i \text{ und } j}{=} \frac{1}{n^2} \cdot \frac{1}{2} \left( \sum_{i,j=0}^n \frac{i}{i+j} + \sum_{i,j=0}^n \frac{j}{i+j} \right) = \frac{1}{n^2} \cdot \frac{1}{2} \cdot \sum_{i,j=0}^n 1 = \frac{1}{2}$$

$$\Rightarrow \int_{[0,1] \times [0,1]} f(x,y) d(x,y) = \lim_{n \rightarrow \infty} \sigma_{\tau_n}(f) = \frac{1}{2} \quad \checkmark$$

Subst.-regel

$$\Rightarrow \int_{P_z} 1 d(x, y) \stackrel{\text{Subst.-regel}}{=} \int_U 1 \left| \det \left( \frac{\partial(x, y)}{\partial(\xi, \eta)} \right) \right| d(\xi, \eta)$$

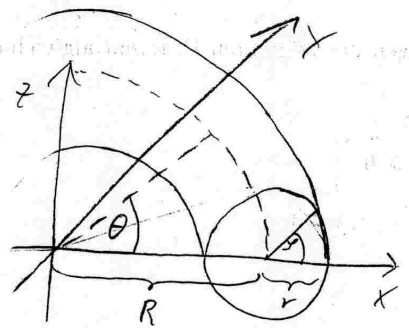
$$= \left( \frac{h-t}{h} \right)^2 \int_U 1 d(\xi, \eta) = \left( \frac{h-t}{h} \right)^2 \text{vol}_2(U)$$

$$\Rightarrow \text{vol}_3(P) = \int_0^h \left( \frac{h-t}{h} \right)^2 \text{vol}_2(U) dt = \frac{1}{h^2} \text{vol}_2(U) \int_0^h (h-t)^2 dt$$

$$= \frac{h}{3} \cdot \text{vol}_2(U) \quad \checkmark$$

Aufg. 3:

Torus:  
( $\varphi$ -messbar)



$r < R$

geeignete Koordinaten:

$$\begin{aligned} x &= (R + r \cos \tau) \cos \theta \\ y &= (R + r \cos \tau) \sin \theta \\ z &= r \sin \tau \end{aligned}$$

$$\int: \begin{cases} (0, \pi) \times [0, 2\pi)^2 \rightarrow T \\ (R, r, \theta) \mapsto (x, y, z) \end{cases}$$

$(x, z)$ -Ebene

$$\frac{\partial(x, y, z)}{\partial(R, r, \theta)} = \begin{pmatrix} \cos \tau \cos \theta & -r \sin \tau \cos \theta & -(R + r \cos \tau) \sin \theta \\ \cos \tau \sin \theta & -r \sin \tau \sin \theta & (R + r \cos \tau) \cos \theta \\ \sin \tau & r \cos \tau & 0 \end{pmatrix}$$

$$\Rightarrow \det \left( \frac{\partial(x, y, z)}{\partial(s, \varphi, \theta)} \right) = -s(R + s \cos \varphi) \neq 0 \text{ falls } s \neq 0$$

Subst.-regel  
 $\int_0^{2\pi} \int_0^{2\pi} \int_0^r$

$$\int_T (x^2 + y^2) d(x, y, z) \stackrel{\text{Subst.-regel}}{=} \int_0^r \int_0^{2\pi} \int_0^{2\pi} (R + s \cos \varphi)^2 s (R + s \cos \varphi) d\theta d\varphi ds$$

(iteriertes Integral,  
 $\int_0^{2\pi}$ )

$$= 2\pi \int_0^r s \int_0^{2\pi} (R + s \cos \varphi)^3 d\varphi ds = 2\pi \int_0^r s \int_0^{2\pi} (R^3 + 3R^2 s \cos^2 \varphi + 3R s^2 \cos^4 \varphi + s^3 \cos^6 \varphi) d\varphi ds$$

$$= 2\pi \int_0^r (2\pi s R^3 + 3\pi R s^3) ds = 4\pi^2 R^3 \frac{r^2}{2} + 6\pi^2 R \frac{r^4}{4}$$

$$= \underbrace{2\pi^2 R r^2}_{\text{Vol}(T)} \left( R^2 + \frac{3}{4} r^2 \right)$$

Bemerkung: Die Voraussetzungen der Subst.-regel (Injektivität von  $S$ , det.-Bedingung) können durch  $\mu$  auf eine Nullmenge verletzt sein.

Aufg 3:

a) Beh:  $M = \{ (x, y, z) \in \mathbb{R}^3 : \frac{x^2}{a^2} + \frac{y^2}{b^2} + \frac{z^2}{c^2} = 1 \} \subset \mathbb{R}^3$  ist ein Null-Mass-Bv ff

Beweis:  $M = M_+ \cup M_-$ ,  $M_{\pm} = \{ (x, y, z) \in M : z \gtrless 0 \}$



# Musterlösung

(7)

Aufg 4: Sei  $S \subseteq \mathbb{R}^3$  Jordan-messbar

$$Z_i := |S|^{-1} \int_S x_i dx, \quad i = 1, 2, 3 \quad \text{Schwerpunkt}$$

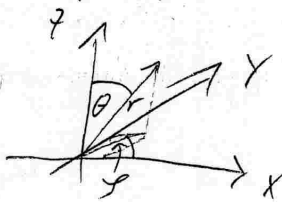
a) Schwerpunkt der Halbkugel  $\{(x, y, z) : x^2 + y^2 + z^2 \leq 1, z \geq 0\}$

Kugelkoordinaten:  $x = r \sin \theta \cos \varphi$

$$y = r \sin \theta \sin \varphi$$

$$z = r \cos \theta$$

$$\left| \frac{\partial(x, y, z)}{\partial(r, \theta, \varphi)} \right| = r^2 \sin \theta$$



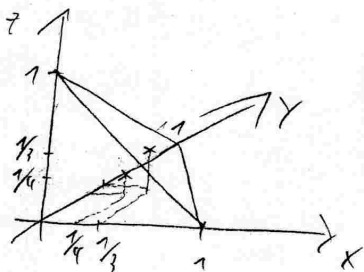
$$|S| = \frac{1}{2} \cdot \frac{4}{3} \pi = \frac{2}{3} \pi$$

$$\Rightarrow Z_x = \frac{3}{2\pi} \int_0^1 \int_0^{\frac{\pi}{2}} \int_0^{2\pi} \underbrace{r \sin \theta \cos \varphi}_{=x} \cdot r^2 \sin \theta \, d\varphi \, d\theta \, dr \stackrel{\text{J-Integr.}}{=} 0$$

$$Z_y = \dots \sin \varphi \dots = 0$$

$$\begin{aligned} Z_z &= \frac{3}{2\pi} \int_0^1 \int_0^{\frac{\pi}{2}} \int_0^{2\pi} \underbrace{r \cos \theta}_{=z} \cdot r^2 \sin \theta \, d\varphi \, d\theta \, dr = \frac{3}{2\pi} \cdot 2\pi \int_0^1 r^3 dr \cdot \int_0^{\frac{\pi}{2}} \sin \theta \cos \theta \, d\theta \\ &= 3 \cdot \frac{r^4}{4} \Big|_0^1 \cdot \frac{1}{2} \sin^2 \theta \Big|_0^{\frac{\pi}{2}} = \frac{3}{8} \end{aligned}$$

b) Schwerpunkt des Tetraeders  $\{(x, y, z) : x + y + z \leq 1, x, y, z \geq 0\}$



$$\begin{aligned} & \left. \begin{aligned} & x, y, z \geq 0 \\ & x + y + z \leq 1 \end{aligned} \right\} \\ & \Leftrightarrow 0 \leq x \leq 1 - y - z, \quad 0 \leq y \leq 1 - z, \quad 0 \leq z \leq 1 \end{aligned}$$

$$S = \frac{1}{3} G \cdot h = \frac{1}{3} \cdot \frac{1}{2} \cdot 1 = \frac{1}{6}$$

8

~~Aufg. 1, Blatt 2~~ Elementargeometrie

$$t_x = \int_0^1 \int_0^{1-z} \int_0^{1-y-z} x \, dx \, dy \, dz = \int_0^1 \int_0^{1-z} \left[ \frac{x^2}{2} \right]_0^{1-y-z} dy \, dz$$

$\frac{1}{2} (1-y-z)^2$

$$= \frac{1}{2} \int_0^1 \left[ \frac{1}{3} (1-y-z)^3 \cdot (-1) \right]_{y=0}^{y=1-z} dz = \frac{1}{2 \cdot 3} \left( - \frac{1-z^4}{4} \right) \Big|_0^1 = \frac{1}{4}$$

$\frac{1}{3} (1-z)^3$

aus der Symmetrie von S folgt:  $t_x = t_y = t_z$ .

Rest ~~Aufg. 2~~:

~~Ann. + Monotonie der Integrale  $\Rightarrow$~~

~~$$\infty > \int_{[0,1]} |f_n(x)| \, dx \geq \int_{[0,1]} f_n(x) \, dx \geq \frac{1}{4} \sum_{k=2}^{n+1} \frac{1}{k} \quad \forall n \in \mathbb{N}$$~~

~~d.h. die harm. Reihe ist konv.  $\Downarrow$~~